

รายงานการวิจัย

เรื่อง

การวิเคราะห์ปริมาณอะเซตามีโน芬ในเพนในพลาสม่า โดยเปรียบเทียบ
ระหว่างเทคนิคไม้เซลลาร์ ติกวิด โครมาโทกราฟี และ¹
เทคนิครีเวอร์สเฟลลิกวิด โครมาโทกราฟี²

Direct Determination of acetaminophen in Plasma by Micellar Liquid Chromatography Compare with Reversed-phase Liquid Chromatography

โดย

ศิริพร จันทรคีรี

ภาควิชาเคมี คณะวิทยาศาสตร์ มหาวิทยาลัยหกชั้น

2543

การวิจัยนี้ได้รับเงินอุดหนุนจากงบประมาณรายได้
ประจำปีงบประมาณ 2540

บทคัดย่อ

การวิเคราะห์ปริมาณอะเซตามิโนเฟนในพลาสมาด้วยเทคนิคไมโครลาร์ ลิคิวิต โครมาโทกราฟี(MLC) และเทคนิครีเทอร์สเฟส ลิคิวิต โครมาโทกราฟี(RPLC) มีกระบวนการการวิเคราะห์แยกต่างกันที่ขั้นตอนการเตรียมสารตัวอย่าง โดยการเตรียมสารตัวอย่างพลาสมาในเทคนิคRPLC ใช้เวลานาน เนื่องจากต้องกำจัดโปรตีนในพลาสมาออกก่อน โดยวิธีการสกัดหรือตกรตะกอน ซึ่งอาจทำให้สารตัวอย่างบางส่วนในพลาสมากลุ่มเสียไปได้ โดยสภาวะที่เหมาะสมสำหรับการวิเคราะห์อะเซตามิโนเฟนโดยเทคนิคRPLC คือใช้สารละลายโซเดียมไฮด्रอกซิลิคิลชัลเฟต 0.05 มิลลิลิตร/นาล เป็นเฟสเคลื่อนที่อัตราเร็วในการเคลื่อนที่ของเฟสเคลื่อนที่ 1.0 มิลลิลิตร/นาล ที่ความยาวคลื่น 245 นาโนเมตร

ส่วนในเทคนิคMLC สามารถทำการวิเคราะห์ตัวอย่างพลาสมาได้ทันที โดยไม่ต้องผ่านกระบวนการการทำกำจัดโปรตีน ซึ่งทำให้เทคนิคMLC เป็นเทคนิคที่สามารถทำการวิเคราะห์ได้รวดเร็ว และมีความถูกต้องสูง แต่พบว่าคลื่นที่ใช้แยกสารในเทคนิคMLC อาจการใช้งานจะสั้น สภาวะที่เหมาะสมสำหรับการวิเคราะห์อะเซตามิโนเฟนโดยเทคนิคMLC คือ ใช้ 30% เมทานอลเป็นเฟสเคลื่อนที่ อัตราเร็วในการเคลื่อนที่ของเฟสเคลื่อนที่ 0.75 มิลลิลิตร/นาล ที่ความยาวคลื่น 244 นาโนเมตร

เมื่อเปรียบเทียบผลการวิเคราะห์หาปริมาณอะเซตามิโนเฟนในพลาสมาโดยเทคนิคMLC และเทคนิคRPLC พบร้าหั้งสองเทคนิคไม่มีความแตกต่างอย่างมีนัยสำคัญ ที่ระดับความเชื่อมั่น 95%

Abstract

Determination of acetaminophen in plasma by Micellar Liquid Chromatography (MLC) and Reverse-phase Liquid Chromatography (RPLC) had different preparation of plasma procedures. Preparative procedure in RPLC had used long times because it required a removal of plasma protein by extraction and/or protein precipitation prior to chromatographic analysis. May be, some sample in plasma lost in this procedure. The optimum condition for analysis of acetaminophen in plasma by RPLC was 30% methanol mobile phase, flow rate 0.75 mL/min, wavelength 244 nm.

In the case of MLC, it can direct injection onto the chromatographic column without treated plasma. Thus, analysis time was shorten, less lost sample in plasma and high precision. But MLC had some problem about clog of analytical column which it made shorten life-time. The optimum condition for analysis of acetaminophen in plasma by MLC was 0.05 M sodium dodecyl sulphate mobile phase, flow rate 1.0 mL/min, wavelength 245 nm.

A comparison of analyses acetaminophen in plasma from RPLC and MLC using F-test showed that there was not a significant difference at 95% confidence limited

สารบัญ

	หน้า
บทที่ 1 บทนำ	1
บทที่ 2 ทฤษฎี	4
บทที่ 3 วิธีการทดลอง	7
บทที่ 4 ผลการทดลอง	14
บทที่ 5 สรุปผลการทดลอง	34
บรรณานุกรม	36



สารบัญรูป

	หน้า
รูปที่ 1 แสดงสูตรโครงสร้างของอะเซตามิโน芬	3
รูปที่ 2 แสดงการแยกของผสมของสาร 3 ชนิด	4
รูปที่ 3 แสดงกลไกการทำงานของไมเซลล์เกิดขึ้นในเฟสเคลื่อนที่	6
รูปที่ 4 แสดงการตัดก้านแสงของอะเซตามิโน芬ที่ความยาวคลื่น 200 - 300 นาโนเมตร	14
รูปที่ 5 กราฟแสดงความสัมพันธ์ระหว่างความเข้มข้นของเฟสเคลื่อนที่กับการเคลื่อนที่ของอะเซตามิโน芬(capacity factor)	15
รูปที่ 6 กราฟแสดงความสัมพันธ์ระหว่างสภาพความเป็นกรด(pH)ที่ความเข้มข้นของเฟสเคลื่อนที่ต่างๆกับอัตราการเคลื่อนที่ของอะเซตามิโน芬	17
รูปที่ 7 แสดงกราฟมาตรฐานของอะเซตามิโน芬ในพลาสม่า(MLC)	18
รูปที่ 8 แสดงchromatogramในการวิเคราะห์หาปริมาณของอะเซตามิโน芬ในพลาสม่าที่ความยาวคลื่น 245 นาโนเมตร เฟสเคลื่อนที่ : 0.05 มิลลิตร/นาที	21
รูปที่ 9 แสดงchromatogramการหาปริมาณของอะเซตามิโน芬ในพลาสม่า เฟสเคลื่อนที่ : 15%MeOH	25
รูปที่ 10 แสดงchromatogramการหาปริมาณของอะเซตามิโน芬ในพลาสม่า เฟสเคลื่อนที่ : 20%MeOH	25
รูปที่ 11 แสดงchromatogramการหาปริมาณของอะเซตามิโน芬ในพลาสม่า เฟสเคลื่อนที่ : 25%MeOH	26
รูปที่ 12 แสดงchromatogramการหาปริมาณของอะเซตามิโน芬ในพลาสม่า เฟสเคลื่อนที่ : 30%MeOH	26
รูปที่ 13 แสดงchromatogramการหาปริมาณของอะเซตามิโน芬ในพลาสม่า เฟสเคลื่อนที่ : 35%MeOH	27
รูปที่ 14 แสดงchromatogramของพลาสม่า เฟสเคลื่อนที่ : 35%MeOH	27
รูปที่ 15 แสดงกราฟความสัมพันธ์ระหว่างค่า HETP กับอัตราการไหลของเฟสเคลื่อนที่	28
รูปที่ 16 แสดงกราฟมาตรฐานของอะเซตามิโน芬(RPLC)	31
รูปที่ 17 แสดงchromatogramการวิเคราะห์หาปริมาณอะเซตามิโน芬ในพลาสม่าที่ความยาวคลื่น 244 นาโนเมตร เฟสเคลื่อนที่: 30%เมทานอล อัตราการไหล 0.75 มิลลิลิตร/นาที	32

สารบัญตาราง

	หน้า
ตารางที่ 1 แสดงค่าcapacity factor ของอะเซตามิโน芬 เมื่อเปลี่ยนแปลงความเข้มข้นของสารละลายโดยเดิมได้คิลลิตรเพ	15
ตารางที่ 2 แสดงค่าcapacity factor ของอะเซตามิโน芬 เมื่อเปลี่ยนแปลงสภาพความเป็นกรดของสารละลายโดยเดิมได้คิลลิตรเพที่ความเข้มข้นต่างๆ	16
ตารางที่ 3 แสดงค่า%recovery ของเทคนิคไมโครคลาร์ ลิกวิด โครมาโทกราฟี	19
ตารางที่ 4 แสดงความสูงพื้นของสารละลายมาตรฐานอะเซตามิโน芬ในพลาสม่าที่ความเข้มข้นต่างๆ	20
ตารางที่ 5 แสดงค่าการดูดกลืนแสงของสารละลายมาตรฐานอะเซตามิโน芬 100 มิโครกรัม/มิลลิลิตร ที่ความยาวคลื่น 200-300 นาโนเมตร	22
ตารางที่ 6 แสดงค่าการดูดกลืนแสงของสารละลายมาตรฐานอะเซตามิโน芬 100 มิโครกรัม/มิลลิลิตร ความยาวคลื่น 240-250 นาโนเมตร	23
ตารางที่ 7 แสดงความสัมพันธ์ระหว่างองค์ประกอบของเฟสเคลื่อนที่กับค่า capacity factor	24
ตารางที่ 8 แสดงความสัมพันธ์ระหว่างค่า HETP กับอัตราการไหลของเฟสเคลื่อนที่	28
ตารางที่ 9 แสดงผลรัชนีต์การสกัดสารละลายมาตรฐานอะเซตามิโน芬	29
ตารางที่ 10 แสดงความสัมพันธ์ระหว่างความเข้มข้นของอะเซตามิโน芬กับค่าการดูดกลืนแสงของอะเซตามิโน芬	30
ตารางที่ 11 แสดงการเปรียบเทียบการหาปริมาณของอะเซตามิโน芬โดยเทคนิค MLC และเทคนิค RPLC	33

บทที่ 1

บทนำ

ปัจจุบันการใช้ยาเมทั้งคุณและโทษถ้าให้ไม่ถูกวิธี การใช้ยาสรักษาโรคที่มากเกินขนาด จะมีผลเสียต่อร่างกายและชีวิต การวิเคราะห์หาปริมาณของสารตัวยาในร่างกายจึงมีความจำเป็น และควรควบคุมขนาดของตัวยาที่ให้กับผู้ป่วย เนื่องจากการหาปริมาณของสารตัวยาในร่างกายมักใช้ของเหลวในร่างกาย (body fluid) เช่น ซีรัม (serum) พลาสma (plasma) และปัสสาวะ เป็นต้น การวิเคราะห์หาปริมาณควรใช้วิธีที่รวดเร็วและได้ผลที่เชื่อถือได้ เทคนิคทางเคมีวิเคราะห์ที่เหมาะสมสมรรถนะนี้ คือ high-performance liquid chromatography เพราะว่าเป็นเทคนิคที่สามารถวิเคราะห์ได้อย่างแม่นยำ ถูกต้อง และใช้ปริมาณสารตัวอย่างในการวิเคราะห์น้อย แต่เนื่องจากของเหลวในร่างกายนั้น จะประกอบด้วยโปรตีนและเมตาโนไรด์ ซึ่งเมื่อทำการวิเคราะห์หาปริมาณของสารตัวยาในของเหลวในร่างกายโดยวิธีนี้ จึงต้องผ่านการสกัดหรือแยกโปรตีนออกก่อน มีขั้นตอนที่ทำให้คลัมน์ที่บรรจุเฟลที่อยู่กับที่ (stationary phase) อุดตันได้ การแยกโปรตีน และสิ่งเจือปนอื่นๆออกจากของเหลวในร่างกายมีข้อจำกัดอย่างมาก อย่างน้อยที่สุดต้องใช้เวลามากขึ้นและเพิ่มโอกาสของความผิดพลาด เนื่องจากการสกัดหรือแยกสารตัวยาออกมาได้ไม่สมบูรณ์ นอกจากนี้อาจก่อให้เกิดการอุดตันของคลัมน์ได้ การวิจัยนี้จะถ่วงดึงการพัฒนาวิธีการวิเคราะห์หาปริมาณของสารตัวยาในพลาสma โดยไม่ต้องผ่านการสกัดหรือแยกโปรตีนออกก่อนทำการวิเคราะห์ โดยใช้เทคนิค micellar liquid chromatography ซึ่งเป็นเทคนิคที่สามารถวิเคราะห์หาปริมาณของสารตัวยาในของเหลวในร่างกายได้โดยตรง โดยไม่ต้องผ่านการสกัด โดยเทคนิคนี้มีผู้สนใจทำงานวิจัย

1. Camanas, et al. (1995 : 1767-1772) ทำการศึกษาการเตรียมยา catecholamines (CAs) ในทางเภสัชกรรม และศึกษาพฤติกรรมการเคลื่อนที่ของCAs โดยเทคนิค HPLC เฟลเคลื่อนที่ คือ sodium dodecyl sulfate และใช้คลัมน์ C₁₈

2. DeLuccia, et al. (1985 : 1564-1568) ใช้เทคนิค micellar liquid chromatography (MLC) ศึกษาการวิเคราะห์ยาชนิดต่างๆ ได้แก่ acetaminophen, acetylsalicylic acid, carbamazepine, chloramphenicol, phenobarbital, phenytoin, procainamide, quinidine และ theophylline เปรียบเทียบกับเทคนิค enzyme-multiplied immunoassay ซึ่งผลการทดลองที่ได้พบว่าทั้งสองวิธี ให้ผลที่ไม่แตกต่างกันอย่างเป็นนัยสำคัญ และยังพบว่าเทคนิค MLC มีความสามารถในการตรวจสารตัวยา (detection limit) อยู่ในระดับ μg/mL

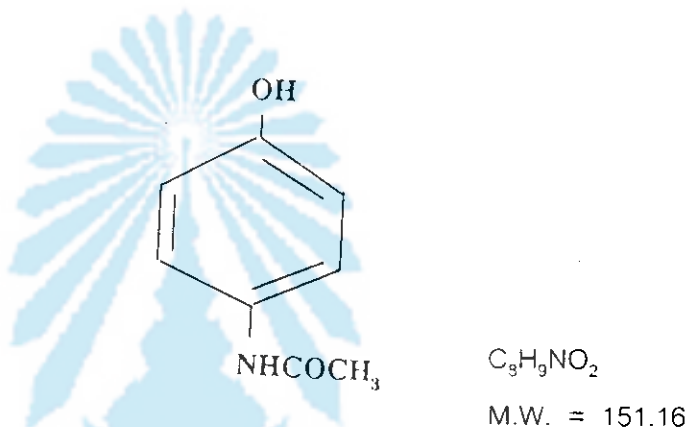
3. Habel, et al. (1993 : 1511-1513) ทำการวิเคราะห์หาปริมาณ theophylline ในพลาสมามนุษย์ โดยใช้เทคนิค HPLC เฟลเคลื่อนที่ คือ 3-(diimethyl)dodecylammonio)

propanesulfonate + 3%, v/v propanol และใช้คอลัมน์ μ Bondapak phenyl ชีงวิธิดังกล่าวจะสามารถวิเคราะห์ theophylline ในพลาสมามนุษย์ได้โดยไม่ต้องผ่านการสกัดหรือการกำจัดโปรตีน ก่อนทำการวิเคราะห์ ผลการทดลองที่ได้มีความแม่นยำสูง



คุณสมบัติของอะเซตามีโน芬

Acetaminophen(N-acetyl-p-aminophenol, paracetamol, *p*-acetamidophenol, APAP) มีสูตรโครงสร้าง แสดงดังในรูปที่ 1



รูปที่ 1 สูตรโครงสร้างของอะเซตามีโน芬

สมบัติทางกายภาพ : เป็นผลึกสีขาว หรือผลึกกรุบแป้ง

จุดเดือด : $169^{\circ}\text{ถึง}172^{\circ}\text{C}$.

คุณสมบัติการละลาย : ที่อุณหภูมิ 25°C อะเซตามีโน芬 1 กรัม สามารถละลายได้ในน้ำ 70 มิลลิลิตร ในเออลกอฮอล์ 7 มิลลิลิตร, ในอะซีติน 13 มิลลิลิตร, ในคลอรอฟอร์ม 50 มิลลิลิตร,, ในกลีเซอรีน 40 มิลลิลิตร, ในโพลีลีนไอกล็อกอล 9 มิลลิลิตร อะเซตามีโน芬ไม่ละลายในเบนซีนและ อีเทอร์ แต่สามารถละลายในสารละลายอัลคาไลไฮดรอกไซด์ สารละลายอิมตัวอะเซตามีโน芬มี pH ประมาณ 6

ค่าคงที่ของการแตกตัว(pK_a) : 9.5 (25°C)

ครึ่งชีวิต(Half-life) : ปกติ 2 ชั่วโมง

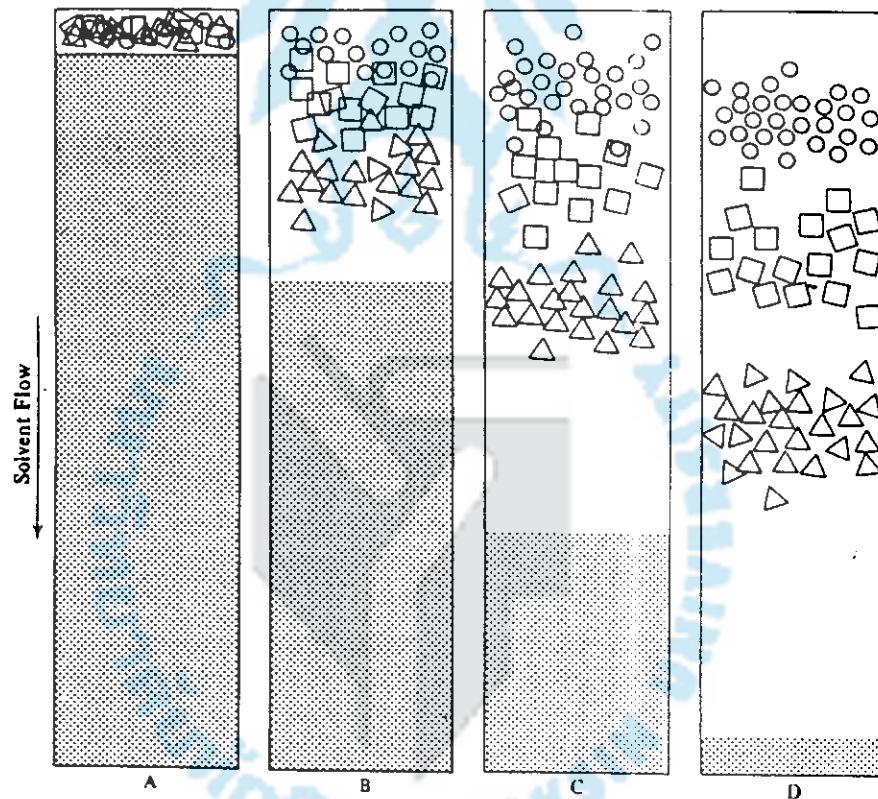
ขนาดความเป็นพิษของยา : ขนาดรับประทานน้อยสุดที่ทำให้เกิดอันตรายต่อร่างกาย ประมาณ 10 กรัม อาการของตับที่ได้รับอันตรายจะไม่แสดงออกมาในช่วงก่อน 12 ชั่วโมง หลังจาก รับประทานยาแต่อาจจะแสดงผลในช่วง 4 - 6 วันหลังจากนั้น ความเข้มข้นของอะเซตามีโน芬ที่อาจเป็นอันตรายต่อตับอยู่ในช่วง 4 - 6 ชั่วโมง หลังจากทานยาช่วง 120 - 300 มิโครกรัม/ มิลลิลิตร และหลังจากทานยา 12 ชั่วโมง ความเข้มข้นของอะเซตามีโน芬เป็น 50-120 มิโครกรัม/มิลลิลิตร

บทที่ 2

ทฤษฎี

หลักการขั้นพื้นฐานของลิควิดクロมาโทกราฟี

หลักการขั้นพื้นฐานของลิควิดクロมาโทกราฟี อาจทำให้เข้าใจได้ง่ายขึ้น โดยการพิจารณา ถึงการแยกสารละลายผสม ซึ่งประกอบด้วยสารสามชนิดด้วยกัน ในคอลัมน์ปิด(closed column) ซึ่งบรรจุด้วยอนุภาคของแข็งขนาดเล็กๆ ที่มีรูพรุน เส้นผ่านศูนย์กลางน้อยกว่า 150 ไมครอน ใน หลอดยางเล็กๆ เรียกว่า คอลัมน์



กฎที่ 2 แสดงการแยกของผสมของสาร 3 ชนิด โดยสมมุติให้สาร A เป็น ∇ , สาร B เป็น \square , สาร C เป็น O และพื้นที่ที่เป็นจุดๆ แสดงถึงตัวทำละลายที่ใช้เป็นเฟสเคลื่อนที่

สารประกอบแต่ละตัวจะถูกดูดซับ และถูกทำให้หลุดออกไปจากตัวดูดซับ(desorption) บนอนุภาคที่บรรจุอยู่ในคอลัมน์ ผลที่ตามมาคือ สารประกอบจะเคลื่อนที่ไปตามคอลัมน์ได้ช้าลง และอัตราเร็วของการเคลื่อนที่จะขึ้นอยู่กับสัมพรรภภาพ(affinity) ของสารกับอนุภาคที่บรรจุอยู่ในคอลัมน์

สารประกอบ X มีการกระจายอยู่ระหว่างเฟสที่อยู่กันที่ (stationary phase) และเฟสเคลื่อนที่ (mobile phase) เมื่อมันผ่านไปตามคอลัมน์ ดังสมการ

$$X_m < ----- > X_s$$

โดย X_m ใน mobile phase

X_s ใน stationary phase

ค่า distribution coefficient สำหรับสารประกอบที่สอดคล้องกับสมการข้างบน คือ

$$K_x = [X]_s / [X]_m = \text{ค่าคงที่}$$

K_x = distribution coefficient ของสาร X

$[X]_s$ = ความเข้มข้นของสาร X ใน stationary phase

$[X]_m$ = ความเข้มข้นของสาร X ใน mobile phase

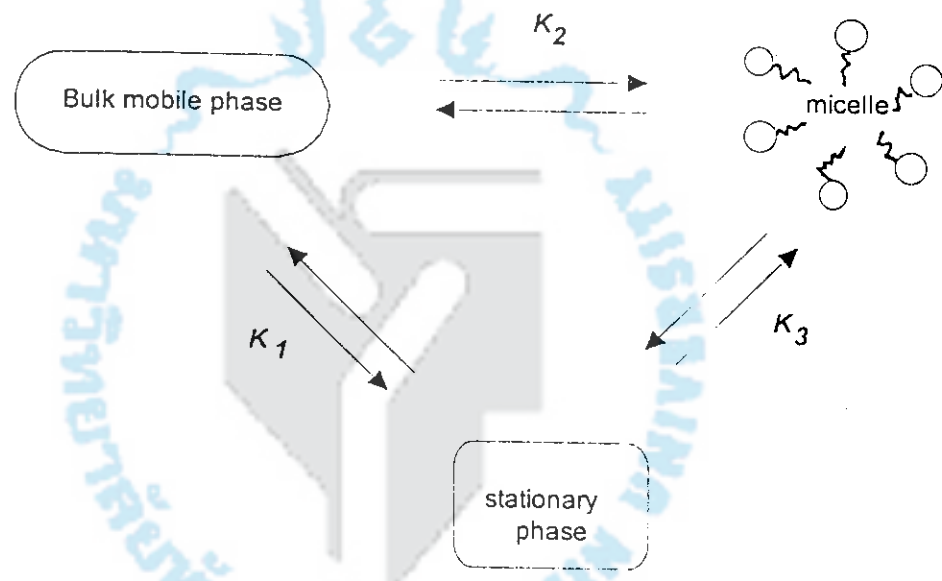
ถ้า K_x มีค่ามาก แสดงว่าสารประกอบของที่จะละลายในเฟสที่อยู่กันที่มากกว่าเฟสเคลื่อนที่ ดังนั้นสารประกอบนี้ก็จะละลายในเฟสเคลื่อนที่ได้มากกว่าเฟสอยู่กันที่ และจะเคลื่อนที่ผ่านคอลัมน์ได้อย่างรวดเร็ว

ความแตกต่างของอัตราการเคลื่อนที่ของสารประกอบ จะมีผลทำให้เกิดการแยกสารประกอบนั้นในคอลัมน์ ใน elution chromatography สารประกอบซึ่งถูกแยกนั้นจะเคลื่อนที่ไปตามความยาวทั้งหมดของคอลัมน์โดยมีเฟสเคลื่อนที่เป็นตัวพาไป ถ้าเราทำการวัดความเข้มข้นของสารประกอบแต่ละชนิดที่ผ่านออกมานอกคอลัมน์ และนำค่านี้ไปเขียนกราฟ กับปริมาตรของเฟสเคลื่อนที่หรือเวลา กราฟที่ได้คือ โครโนโฟแทร์ ระยะแรกของกราฟศึกษาทางโครโนโฟแทร์นั้น จะเก็บปริมาตรของเฟสเคลื่อนที่แล้วนำมา วัดความเข้มข้นของตัวถูกละลายได้โดยใช้วิธีที่เหมาะสม เช่น วิธีทางสเปกตรอฟโนเมตري แต่ปัจจุบันนี้สามารถที่จะวัดส่วนที่ผ่านออกมานอกคอลัมน์ได้อย่างต่อเนื่อง โดยใช้เครื่องตรวจวัด (detector) ซึ่งอาจเป็นการวัดสมบัติทางกายภาพหรือทางเคมีของตัวถูกละลาย หรือของเฟสเคลื่อนที่

เฟสเคลื่อนที่ที่ใช้ในเทคนิคไฮเปอร์ฟอร์มานซ์ ลิควิด โครโนโฟแทร์(HPLC)นั้น สามารถมีได้ทั้งสารละลายที่มีช้ำและไม่มีช้ำ โดยถ้าใช้เฟสเคลื่อนที่เป็นสารมีช้ำและเฟสอยู่กันที่เป็นสารไม่มีช้ำ จะเรียกเทคนิค HPLC นี้ว่า reverse phase liquid chromatography แต่ถ้าใช้เฟสเคลื่อนที่เป็นสารไม่มีช้ำและเฟสอยู่กันที่เป็นสารมีช้ำ จะเรียกเทคนิค HPLC นี้ว่า normal phase liquid chromatography

หลักการขั้นพื้นฐานของเทคนิคไมเซลลาร์ ลิคવิด โครมาโทกราฟี

Armstrong (1975: 2160-2163) เป็นบุคคลแรกที่นำสารละลาย surfactant ที่มีความเข้มข้นมากกว่าค่าความเข้มข้นวิกฤตของไมเซล(critical micell concentration, CMC) มาใช้เป็นเฟสเคลื่อนที่ ในเทคนิคลิคવิด โครมาโทกราฟี ความจำเพาะเจาะจง(selectivity) ของเฟสเคลื่อนที่ดังกล่าว มีผลทำให้เพิ่มประสิทธิภาพในการวิเคราะห์ได้แตกต่างจากเทคนิคโครมาโทกราฟีแบบอื่นๆ โดยเฉพาะคุณสมบัติของการละลายของsurfactant ที่สามารถละลายโปรตีนได้ สามารถนำมาประยุกต์ใช้วิเคราะห์สารประกอบทางชีวภาพโดยเทคนิคHPLC ได้โดยตรง ไม่จำเป็นต้องผ่านขั้นตอนการทำจัดเอาโปรตีนออกก่อนทำการวิเคราะห์ โดยกลไกการทำงานของไมเซลที่เกิดขึ้นในเฟสเคลื่อนที่ ของเทคนิคไมเซลลาร์ ลิคવิด โครมาโทกราฟีสามารถอธิบายได้ในรูปของรูปที่ 3



รูปที่ 3 แสดงกลไกการทำงานของไมเซลที่เกิดขึ้นในเฟสเคลื่อนที่

บทที่ 3

การทดลอง

วัสดุและอุปกรณ์

1. graduate cylinder
2. beaker
3. pipette
4. beaker
5. stirring rod
6. volumetric flask
7. vial
8. micropipette
9. ชุดกรอง mobile phase
10. ชุดกรอง sample

เครื่องมือ

1. เครื่อง High Performance Liquid Chromatography ของ Separation Products รุ่น SN 4000 ประกอบด้วย
 - 1.1 pump รุ่น consta metric 3500
 - 1.2 consta metric 3200 detector. ใช้ UV-VIS spectra focus (FORWARD OPTICAL SCANNING DETECTOR)
 - 1.3 เครื่อง Autosampler Spectrasystem AS 3000
2. เครื่อง Ultrasonic bath (BRANSON รุ่น 3210)
3. เครื่องกรองน้ำชนิด MILLIPORE
4. เครื่องกรองแบบลดความดัน
5. เครื่อง Vertex รุ่น
6. เครื่อง Centrifuge รุ่น
7. เครื่องวัดพีเอช

สารเคมี

1. สารมาตรฐาน *N*-acetyl-*p*-acetaminophenol 99.9%
2. Zincsulfate : AR Grade
3. Bariumhydroxide : AR Grade
4. Heparin
5. Methanol : HPLC Grade
6. n-propanol : AR Grade
7. ตัวอย่างพลาสม่า

วิธีการทดลอง

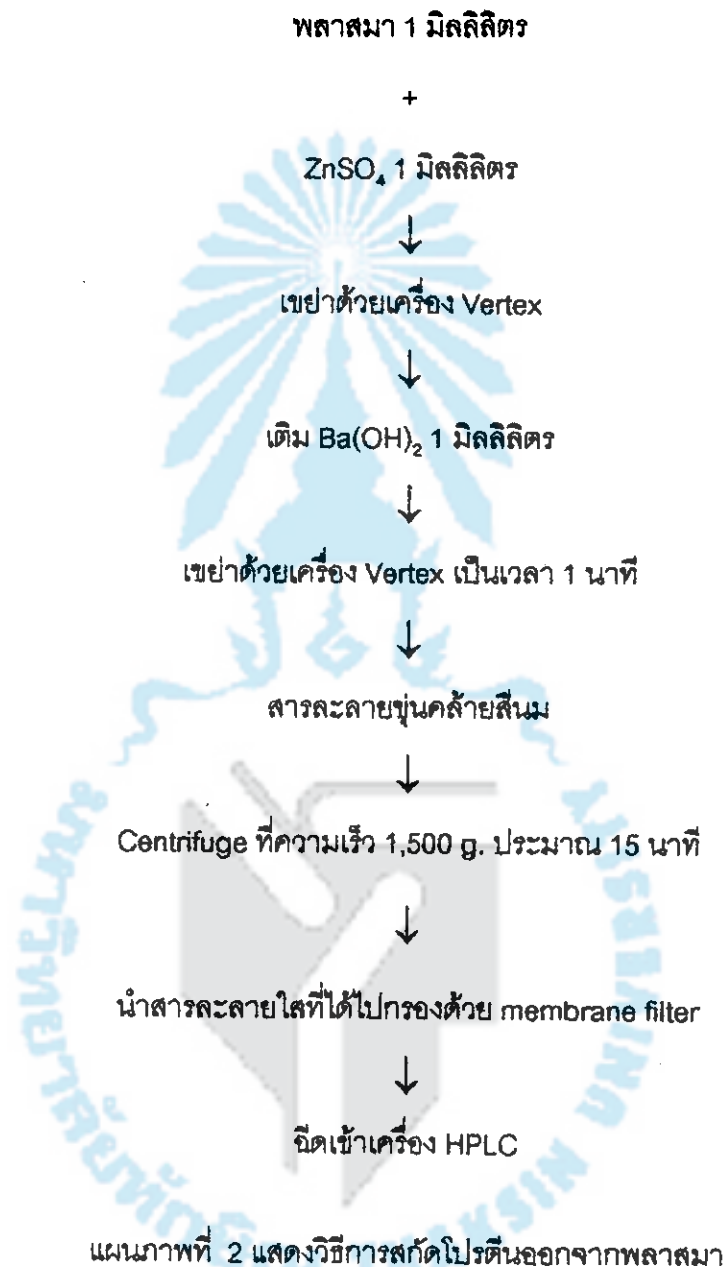
1. การเตรียมตัวอย่างพลาสม่า

1.1 การแยกพลาสมาออกจากตัวอย่างเลือด ตามแผนภาพที่ 1



แผนภาพที่ 1 แสดงวิธีการแยกพลาสมาออกจากตัวอย่างเลือด

1.2 การสกัดโปรตีนออกจากพลาสม่าในเทคโนโลยีเวอร์ซเฟส สิคิวติ โตรมาไทกราฟี สามารถทำได้ตาม
แผนภาพที่ 2



2. การเตรียมสารละลายน้ำตามน้ำในเฟ่นในน้ำ

2.1 เตรียมสารละลายน้ำมาตรฐานตั้งต้น(Stock Standard Solution) ความเข้มข้น 100 มิโครกรัม/มิลลิลิตร โดยซึ่งจะเพาเมินในเฟ่น 10.00 มิลลิกรัม เติมน้ำให้ได้ปริมาตร 100 มิลลิลิตร

2.2 นำสารละลายน้ำมาตรฐานตั้งต้น ความเข้มข้น 100 มิโครกรัม/มิลลิลิตร มาเจือจากด้วยน้ำให้มีความเข้มข้น 80, 60, 40, 20 และ 10 มิโครกรัม/มิลลิลิตร ตามลำดับ

3. การเตรียมสารละลายน้ำตามน้ำในพลาสมา

เตรียมสารละลายน้ำมาตรฐานอัเซเตามิโนเฟ่นในพลาสมา ความเข้มข้น 40, 20, 10, 5 มิโครกรัม/มิลลิลิตร โดยนำสารละลายน้ำมาตรฐานอัเซเตามิโนเฟ่นในน้ำความเข้มข้น 80, 40, 20 และ 10 มิโครกรัม/มิลลิลิตร มาเจือจากด้วยพลาสมา ในอัตราส่วน 1:1 ตามลำดับ

4. การนาสภาวะที่เหมาะสมในการวิเคราะห์อัเซเตามิโนเฟ่น

4.1 เทคนิคไมโครแลร์ ลิกวิด โครมาโทกราฟี

4.1.1 การนาองค์ประกอบที่เหมาะสมของเฟสเคลื่อนที่

1. ศึกษาความเข้มข้นที่เหมาะสมของเฟสเคลื่อนที่

ทำการเปลี่ยนแปลงความเข้มข้นสารละลายน้ำโดยเดิมโดยคิดขั้นเดียว ซึ่งใช้เป็นเฟสเคลื่อนที่ จากความเข้มข้น 0.01, 0.25, 0.05, 0.75, 0.10, 0.125, 0.15 มิลาร์ โดยใช้อัตราเร็วของเฟสเคลื่อนที่ 1.0 มิลลิลิตร/นาที ความยาวคลื่นที่นาได้จากข้อ 4 และนำข้อมูลมาเปรียบเทียบหาค่า capacity factor และค่า HETP (Height Equivalent to a Theoretical plate)

2. ศึกษาผลของ pH ของเฟสเคลื่อนที่ต่อการเคลื่อนที่ของอัเซเตามิโนเฟ่น

4.1.2 การนาอัตราเร็วของเฟสเคลื่อนที่ที่เหมาะสม

ทำการเปลี่ยนแปลงอัตราเร็วในการเคลื่อนที่ของเฟสเคลื่อนที่ตั้งแต่ 0.5, 0.75, 1.0, 1.25, 1.5 1.75 มิลลิลิตร/นาที โดยใช้ความเข้มข้นของเฟสเคลื่อนที่และสภาวะการทดลองที่นาได้จากข้อ 4.1.1

4.1.3 การหาความยาวคลื่นที่เหมาะสม

1. นำสารละลายมาตรฐานอะเซตามิโนเฟนความเข้มข้น 20 ไมโครกรัม/มิลลิลิตร ที่คล้ายในสารละลายโดยเดียมโดยดิสซัลฟิด มา hac ก้าการดูดกลืนแสงที่ความยาวคลื่น 200 - 300 นาโนเมตร โดยเครื่อง UV - Visible Spectrophotometer และใช้สารละลายโดยเดียมโดยดิสซัลฟิดเป็นสารละลายเปรียบเทียบ(b/blank) เพื่อหาค่าความยาวคลื่นที่อะเซตามิโนเฟนดูดกลืนแสงได้สูงสุด

2. ศึกษาผลของพลาสมาต่อการดูดกลืนแสงของอะเซตามิโนเฟนในช่วงความยาวคลื่นต่างๆ

4.2 เทคนิคเริ่มเพลส สิคิวติ โกรมาโทกราฟี

4.2.1 การหาของค์ประกอบที่เหมาะสมของเฟสเคลื่อนที่

1. นำสารละลายมาตรฐานอะเซตามิโนเฟน 100 ไมโครกรัม/มิลลิลิตร จัดเข้า เครื่อง HPLC โดยใช้ความยาวคลื่น 244 นาโนเมตร อัตราการในลงของเฟสเคลื่อนที่ 1 มิลลิลิตร/ นาที และทำการเปลี่ยนแปลงองค์ประกอบของเฟสเคลื่อนที่ในอัตราส่วนต่างๆ คือ ใช้เมทานอลต่อ น้ำ 10%, 15%, 20%, 25%, 30% และ 35%(V/V) ตามลำดับ

2. เสียงภาพแสดงความสัมพันธ์ระหว่างค่าcapacity factor กับอัตราส่วนของเฟส เคลื่อนที่

4.2.2 การหาอัตราเร็วของเฟสเคลื่อนที่ที่เหมาะสม

1. นำสารละลายมาตรฐานอะเซตามิโนเฟน ความเข้มข้น 100 ไมโครกรัม/ มิลลิลิตร มาวิเคราะห์ด้วยเครื่อง HPLC/UV detector ใช้ความยาวคลื่น 244 นาโนเมตร เฟส เคลื่อนที่เป็น 35%เมทานอล แล้วทำการเปลี่ยนแปลงอัตราเร็วของเฟสเคลื่อนที่ดังนี้ 0.5, 0.75, 1.00, 1.25 และ 1.50 มิลลิลิตร/นาที ตามลำดับ

2. เสียงภาพแสดงความสัมพันธ์ระหว่างค่าHETP กับอัตราส่วนของเฟสเคลื่อนที่ เพื่อหาอัตราเร็วที่เหมาะสมสำหรับการวิเคราะห์

4.2.3 การหาความยาวคลื่นที่เหมาะสม

1. นำสารละลายมาตรฐานอะเซตามิโนเฟนความเข้มข้น 20 ไมโครกรัม/มิลลิลิตร มา hac ก้าการดูดกลืนแสงสูงสุดที่ความยาวคลื่นช่วง 200 - 300 นาโนเมตร โดยเครื่องUV-Visible Spectrophotometer ใช้น้ำกลั่นเป็นสารละลายเปรียบเทียบ(b/blank) เพื่อหาค่าความยาวคลื่นที่อะเซตามิโนเฟนดูดกลืนแสงได้สูงสุด

2. ศึกษาผลของพลาสมาต่อการดูดกลืนแสงของอะเซตามิโน芬ในช่วงความยาวคลื่นต่างๆ

5. การหาเปอร์เซ็นต์การสกัดในเทคนิครีเวสเฟต ลิควิต โครมาโทกราฟี

1. นำสารละลายมาตรฐานอะเซตามิโน芬ใน芬ในน้ำความเข้มข้น 10 และ 20 ไมโครกรัม/มิลลิลิตร ไปวิเคราะห์ด้วยเครื่อง HPLC/UV detector แล้ววัดค่าการดูดกลืนแสงของอะเซตามิโน芬
2. นำสารละลายมาตรฐานอะเซตามิโน芬ใน芬ในน้ำความเข้มข้น 10 และ 20 ไมโครกรัม/มิลลิลิตร ปริมาณ 1 มิลลิลิตร ไปผ่านการสกัดตามแผนภาพที่ 2 ในวิธีข้อ 1.2
3. นำสารละลายส่วนใสที่สกัดได้ ไปวิเคราะห์ด้วยเครื่อง HPLC/UV detector แล้ววัดค่าการดูดกลืนแสงของอะเซตามิโน芬
4. นำค่าการดูดกลืนแสงของอะเซตามิโน芬ที่ได้แต่ละความเข้มข้นในข้อ 1 และข้อ 3 มาเปรียบเทียบกันหาเปอร์เซ็นต์การสกัดตามสมการข้างล่าง แล้วนำมาหาค่าเฉลี่ย

$$\text{เปอร์เซ็นต์การสกัด} = \frac{\text{ค่าการดูดกลืนแสงของอะเซตามิโน芬หลังการสกัด}}{\text{ค่าการดูดกลืนแสงของอะเซตามิโน芬ก่อนการสกัด}} \times 100$$

6. การทำ Recovery ในเทคนิคไมเชลลาร์ ลิควิต โครมาโทกราฟี

1. นำสารละลายมาตรฐานอะเซตามิโน芬ใน芬ในน้ำ ความเข้มข้น 1, 5, 10, 20 ไมโครกรัม/มิลลิลิตร วิเคราะห์นำปริมาณอะเซมิโน芬ด้วยเครื่อง HPLC/UV detector
2. นำสารละลายมาตรฐานอะเซตามิโน芬ใน芬ในพลาสม่า ความเข้มข้น 1, 5, 10, 20 ไมโครกรัม/มิลลิลิตร วิเคราะห์นำปริมาณอะเซมิโน芬ด้วยเครื่อง HPLC/UV detector
3. นำความเข้มข้นของอะเซตามิโน芬ใน芬ในน้ำและพลาสมาที่ได้แต่ละความเข้มข้นจากข้อ 2 และข้อ 3 มาหาเปอร์เซ็นต์recovery ตามสูตรข้างล่าง แล้วนำค่าเปอร์เซ็นต์ recovery แต่ละความเข้มข้นที่ได้มาหาค่าเฉลี่ย

$$\% \text{recovery} = \frac{\text{ความเข้มข้นของอะเซตามิโน芬ใน芬ในพลาสม่า}}{\text{ความเข้มข้นของอะเซตามิโน芬ใน芬ในน้ำ}} \times 100$$

7. การทำกราฟมาตราฐาน(calibration curve)

1. นำสารละลายน้ำดีมาต้มในไฟฟ้าสมาร์ท ความเข้มข้น 1.0, 5.0, 10.0, 15.0 และ 20 มิโครกรัม/มิลลิลิตร มาวิเคราะห์ด้วยเครื่อง HPLC/UV detector แล้ววัดความสูงของพีคที่ได้และความเข้มข้น
2. นำความสูงของพีคที่ได้มาเขียนกราฟ โดยให้ความเข้มข้นของอะเซตามิโนเฟนเป็นแกนนอน แล้วให้ความสูงของพีคเป็นแกนตั้ง

8. การหาปริมาณความเข้มข้นของตัวอย่างอะเซตามิโนเฟน

8.1 เทคนิคไมโครซอลาร์ ลิคuid โคลร์มาโทกราฟี

1. นำตัวอย่างเลือดมาแยกເອົາພລາສມາດາມແຜນກາພທີ 1 ຂ້ອ 1.2
2. นำພລາສມາທີ່ໄດ້ມາກຮອງຜ່ານແຜ່ນກຮອງຂະດ 0.45 ມິໂຄຣອນ ກ່ອນທຳການວິເຄາະທີ່ດ້ວຍເຄື່ອງ HPLC/UV detector
3. ວັດຄວາມສູງຂອງພຶກທີ່ໄດ້ ແລ້ວນໍາໄປຫາບົນດີເປີຍຕີບກັບກາຟມາຕຽບມາຕຽບ

8.2 เทคนิคຣີເວສເຟສ ลิคuid ໂຄຣມາໂທກຣາຟ

1. นำตัวอย่างເລືອດມາແຢກເອົາພລາສມາດາມແຜນກາພທີ 1 ຂ້ອ 1.1
2. นำພລາສມາທີ່ໄດ້ມາສັດດາມແຜນກາພທີ 2 ຂ້ອ 1.2
3. นำสารละลายนໍາໃສທີ່ໄດ້ມາກຮອງຜ່ານແຜ່ນກຮອງຂະດ 0.45 ມິໂຄຣອນ ກ່ອນທຳການວິເຄາະທີ່ດ້ວຍເຄື່ອງ HPLC/UV detector
4. ວັດຄ່າກາງຕູດກິລືນແສງຂອງอะเซตามີโนຝີນທີ່ໄດ້ ແລ້ວນໍາໄປຫາບົນດີເປີຍຕີບກັບກາຟມາຕຽບມາຕຽບ

บทที่ 4

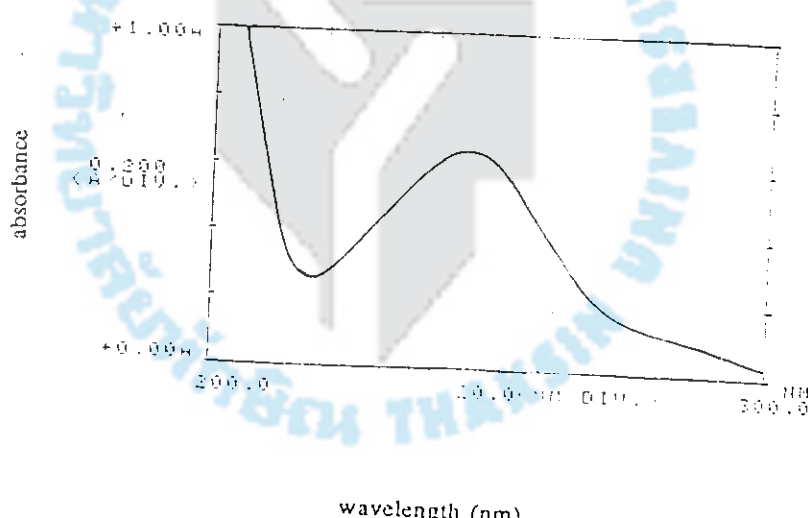
ผลการทดลอง

ผลการทดลองสามารถแยกเป็น 2 ส่วน คือ ส่วนแรกเป็นการวิเคราะห์หาอะเซตามิโน芬โดยเทคนิคไมโครซีลลาร์ ลิคuid โครมาโทกราฟี และส่วนที่ 2 เป็นการวิเคราะห์อะเซตามิโน芬ในเทคนิครีเวอร์ฟล ลิคuid โครมาโทกราฟี

เทคนิคไมโครซีลลาร์ ลิคuid โครมาโทกราฟี

1. การหาค่าความยาวคลื่นที่เหมาะสม

ความยาวคลื่นที่ให้ค่าการดูดกลืนแสงของอะเซตามิโน芬สูงสุดคือ 245 นาโนเมตร ซึ่งได้จากการนำสารละลายอะเซตามิโน芬ความเข้มข้น 20 ไมโครกรัม/มิลลิลิตร มาตรวจวัดที่ความยาวคลื่น 200 - 300 นาโนเมตร ดังแสดงในรูปที่ 4 ส่วนการวิเคราะห์อะเซตามิโน芬ในพลาสม่า พบว่าพีคของพลาสมามีรับกวนพีคของอะเซตามิโน芬 ดังแสดงในรูปที่ ดังนั้นในการวิเคราะห์จึงสามารถใช้ความยาวคลื่น 245 นาโนเมตร วิเคราะห์ได้จริง



รูปที่ 4 แสดงการดูดกลืนแสงของอะเซตามิโน芬ที่ความยาวคลื่น 200 - 300 นาโนเมตร โดย UV-VIS spectrophotometer

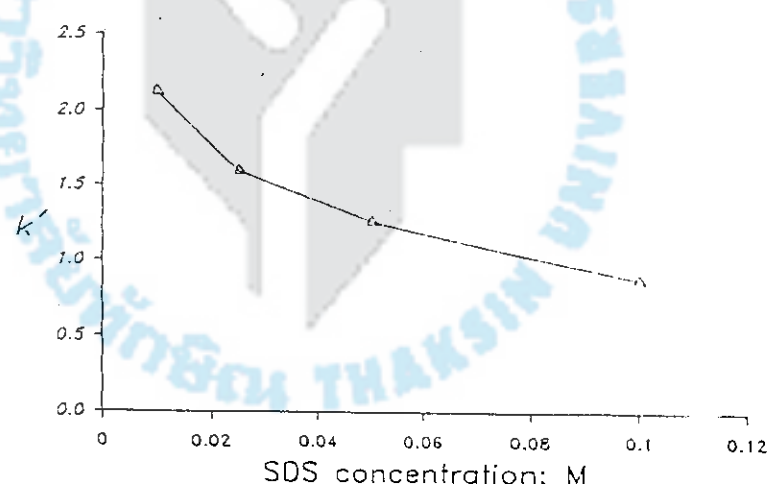
2. การห้องคปประกอบที่เหมาะสมของเฟสเคลื่อนที่

2.1 การศึกษาความเข้มข้นของเฟสเคลื่อนที่

จากการทดลองเฟสเคลื่อนที่ที่ใช้ คือ สารละลายน้ำเดิมโดยคิลซัลเพต เมื่อเพิ่มความเข้มข้นของเฟสเคลื่อนที่จาก 0.01 - 0.10 มิลลิ พบว่าอะเซตามิโนフェนเคลื่อนที่ออกจากคอลัมน์ได้เร็วขึ้น โดยแสดงได้จากค่า capacity factor ตามตารางที่ 1 และจากการทดลองสามารถแสดงความสัมพันธ์ระหว่างความเข้มข้นของเฟสเคลื่อนที่กับค่า capacity factor ดังรูปที่ 5

ตารางที่ 1 แสดงค่า capacity factor ของอะเซตามิโนフェน เมื่อเปลี่ยนแปลงความเข้มข้นของสารละลายน้ำเดิมโดยคิลซัลเพต กระบวนการทดลอง : C_{18} คอลัมน์ อัตราการไหลของเฟสเคลื่อนที่ 0.1 มิลลิลิตร/นาที ความยาวคลื่น 245 นาโนเมตร ($t_m = 2.43$ นาที)

[SDS], M	capacity factor(k')
0.010	2.12
0.025	1.60
0.050	1.26
0.100	0.88



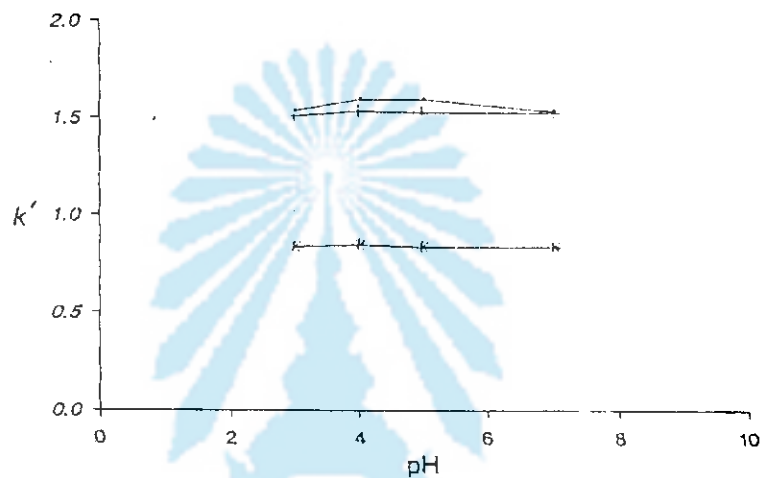
รูปที่ 5 กราฟแสดงความสัมพันธ์ระหว่างความเข้มข้นของเฟสเคลื่อนที่กับการเคลื่อนที่ออกจากคอลัมน์ของอะเซตามิโนเฟน(capacity factor) ความยาวคลื่น 245 นาโนเมตร อัตราการไหล 1.0 มิลลิลิตร/นาที

2.2 การศึกษาผลของ pH

จากการทดลองเมื่อเปลี่ยนแปลงสภาพความเป็นกรดของเฟสเคลื่อนที่จาก pH 3 – 7 ที่ความเข้มข้น 0.025, 0.05, 0.1 มิลลิ สารละลายน้ำเดียมไดคิลชัลเฟต พบร่วมกับความเป็นกรดไม่มีผลต่ออัตราการเคลื่อนที่ออกจากคลัมมน์ของอะเซตามิโน芬 ดังแสดงได้ในตารางที่ 2 และจากการทดลองสามารถแสดงความสัมพันธ์ระหว่างสภาพความเป็นกรด(pH)ที่ความเข้มข้นของเฟสเคลื่อนที่ต่างๆ กับอัตราการเคลื่อนที่ของการของอะเซตามิโน芬(capacity factor) ดังรูปที่ 6

ตารางที่ 2 แสดงค่าcapacity factor ของอะเซตามิโน芬 เมื่อเปลี่ยนแปลงสภาพความเป็นกรดของสารละลายน้ำเดียมไดคิลชัลเฟตที่ความเข้มข้นต่างๆ สภาวะการทดลอง: C_{18} คลัมมน์ อัตราการไหลของเฟสเคลื่อนที่ 0.1 มิลลิลิตร/นาที ความยาวคลื่น 245 นาโนเมตร ($t_m = 2.43$ นาที)

[SDS], M	pH	capacity factor(k')
0.025	3.0	1.54
	4.0	1.60
	5.0	1.60
	6.2	1.60
0.05	7.0	1.54
	3.0	1.51
	4.0	1.54
	5.0	1.53
0.10	6.2	1.26
	7.0	1.53
	3.0	0.84
	4.0	0.85
	5.0	0.84
	6.2	0.86
	7.0	0.84



รูปที่ 6 กราฟแสดงความสัมพันธ์ระหว่างสภาพความเป็นกรด(pH)ที่ความเข้มข้นของเพสเคลื่อนที่ต่างๆกับอัตราการเคลื่อนที่ของของอะเซตามิโนเฟน(capacity factor)ความยาวคลื่น 245 นาโนเมตร อัตราการไหล 1.0 มิลลิลิตร/นาที

2.3 การหาอัตราการไหลของเฟสเคลื่อนที่ที่เหมาะสม

การหาอัตราการไหลของเฟสเคลื่อนที่โดยเทคนิคนี้ไม่สามารถหาได้ตามทฤษฎีของ Van Dee Plot เนื่องจากสารละลายโดยคิลล์เพตที่ใช้เป็นเฟสเคลื่อนที่นั้นมีความหนืดสูง ดังนั้นเมื่อเพิ่มอัตราการไหลของเฟสเคลื่อนที่ ทำให้เกิดแรงดันกลับ (back pressure) ในคอลัมน์สูงมาก ประกอบกับเมื่อทำการทดลองของอะเซตามิโนเฟนในพลาスマแล้วพบว่าความดันของปั๊มจะมีค่าสูงกว่าเมื่อทำการทดลองในตัวกลางน้ำ จนเกินขีดความสามารถของปั๊ม ดังนั้นในการทดลองนี้จึงพิจารณาเลือกใช้อัตราการไหลของเฟสเคลื่อนที่ โดยพิจารณาจากอัตราการเคลื่อนที่ของอะเซตามิโนเฟนที่เหมาะสม นั้นคือเลือกใช้อัตราการไหล 1.0 มิลลิลิตร/นาที



3. Recovery

การหาค่า recovery ของการวิเคราะห์สารละลายน้ำตามมาตรฐานของเชตامิโนเพนโดยเทคนิคนี้ ทำได้โดยนำสารละลายน้ำตามมาตรฐานของเชตامิโนเพนในน้ำและในพลาสมากวามเข้มข้น 1, 5, 10, 20 ไมโครกรัม/มิลลิลิตร มาวิเคราะห์หาปริมาณ แล้วเอาอัตราส่วนที่ได้มาเปรียบเทียบหาเปอร์เซ็นต์ recovery ของเทคนิคไมเซลลาร์ ลิกวิด โครมาโทกราฟี

จากการทดลองพบว่าเทคนิคนี้มีค่า recovery เฉลี่ย 81% ดังแสดงในตารางที่ 3

ตารางที่ 3 แสดงค่าเปอร์เซ็นต์ recovery ของเทคนิคไมเซลลาร์ ลิกวิด โครมาโทกราฟี

ความเข้มข้น (ไมโครกรัม/มิลลิลิตร)	ความสูงเฉลี่ยของพีโคะตามมาตรฐานเพน(เซนติเมตร)		%recovery
	น้ำ	พลาสma	
1.0	0.63	0.53	84
5.0	2.65	2.33	88
10.0	5.38	4.10	76
15.0	8.20	6.27	76

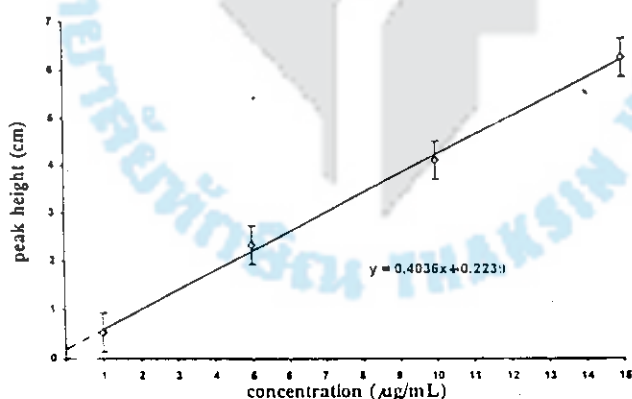
4. การหาปริมาณอะเซตามีโน芬ในพลาสม่า

นำสารละลายน้ำตราชูนอะเซตามีโน芬ในพลาสม่า ความเข้มข้น 1.0, 5.0, 10.0, 15.0 และ 20 มิโครกรัม/มิลลิลิตร มาวิเคราะห์ด้วยเครื่อง HPLC/UV detector โดยใช้ 0.05 มิลลิตร โซเดียมไดคิลซัลเฟตเป็นเฟสเคลื่อนที่ อัตราการไหลเท่ากับ 1.0 มิลลิลิตร/นาที และตัวดำเนินการดูดกลืนแสงที่ความยาวคลื่น 245 นาโนเมตร จะได้ผลการทดลองดังตารางที่ 4 จากนั้นนำความสูงของพีคของแต่ละความเข้มข้นที่ได้มาเขียนกราฟน้ำตราชูนแสดงความสัมพันธ์ระหว่างความเข้มข้นของอะเซตามีโน芬กับความสูงของพีค ดังรูปที่ 7 แล้วนำตัวอย่างอะเซตามีโน芬ในพลาสมามาวิเคราะห์ โดยใช้สภาวะการทดลองเดียวกับการทำกราฟน้ำตราชูน สามารถหาปริมาณอะเซตามีโน芬ได้โดยนำข้อมูลไปเบริญบเทียบกับกราฟน้ำตราชูน

จากสภาวะการทดลองข้างต้นสามารถวิเคราะห์หาปริมาณอะเซตามีโน芬ในพลาสม่าได้ตามโครงสร้างรูปที่ 8

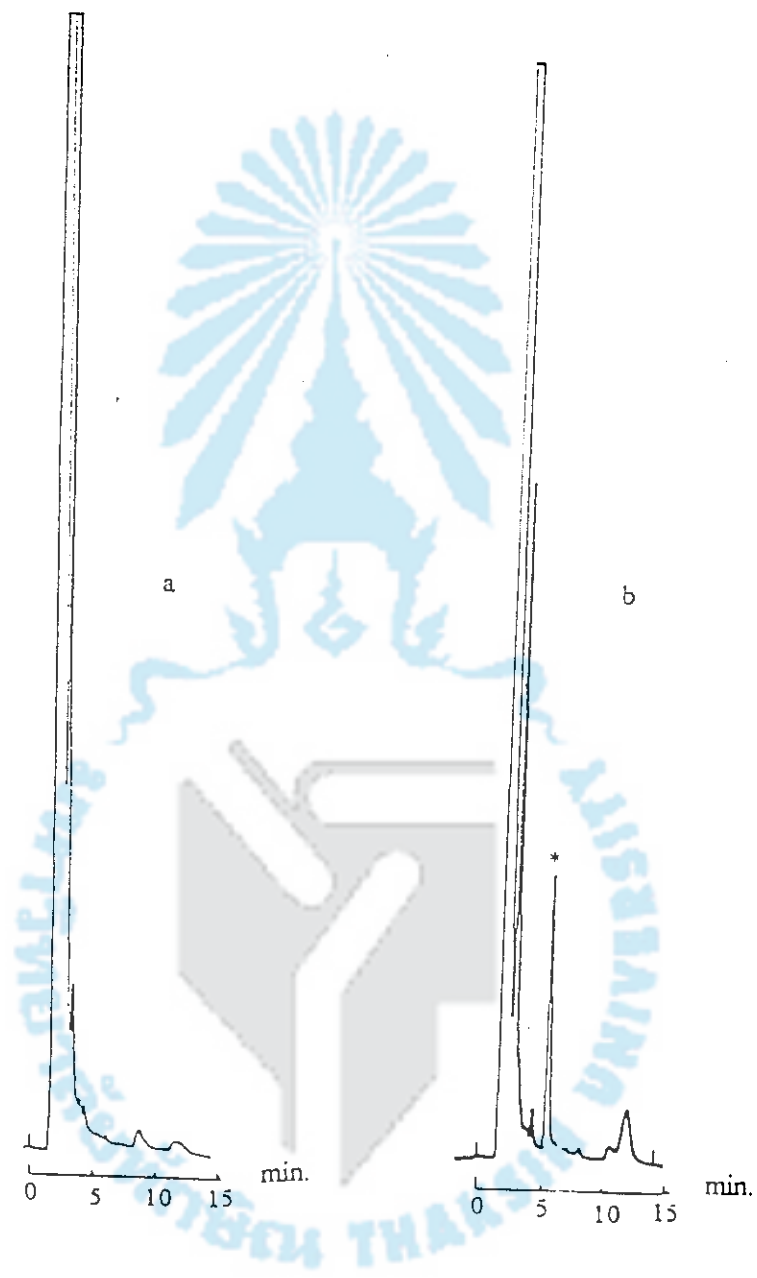
ตารางที่ 4 แสดงความสูงพีคของสารละลายน้ำตราชูนอะเซตามีโน芬ในพลาสม่า ที่ความเข้มข้นต่างๆ

ความเข้มข้น (มิโครกรัม/มิลลิลิตร)	ความสูงของพีค (เซนติเมตร)
1.0	0.53
5.0	2.33
10.0	4.10
15.0	6.27



รูปที่ 7 แสดงกราฟน้ำตราชูนของอะเซตามีโน芬ในพลาสม่า

สภาวะการทดลอง : คอลัมน์ C₁₈ เฟสเคลื่อนที่ : 0.05 มิลลิตร โซเดียมไดคิลซัลเฟต, อัตราการไหล 1.0 มิลลิลิตร/นาที ความยาวคลื่น 245 นาโนเมตร



รูปที่ 8 แสดงโครงมาโทแกรมในการวิเคราะห์นาบปริมาณของอะเซตามีโนฟีนในพลาสม่าที่ความยาวคลื่น 245 นาโนเมตร เพสเกล็อกนที่ : 0.05 มิลลิ ใช้เดียมโกลดิกิสชัลเฟต อัตราการไหล 1.0 มิลลิลิตร/นาที (a) blank plasma (b) acetaminophen in plasma

เทคนิครีเวสเพส ลิควิต โครมาโทกราฟี

1. การหาค่าความยาวคลื่นที่เหมาะสม

ค่าการดูดกลืนแสงของสารละลายมาตรฐานอะเซตามิโนเฟนความเข้มข้น 100 มิโครกรัม/มิลลิลิตร ที่ได้จากการตรวจที่ความยาวคลื่น 200 - 300 นาโนเมตร พบร่วงสามารถดูดกลืนแสงสูงสุดที่ความยาวคลื่น 244 นาโนเมตร ดังแสดงในตารางที่ 5 และ 6

ตารางที่ 5 แสดงค่าการดูดกลืนแสงของสารละลายมาตรฐานอะเซตามิโนเฟน 100 มิโครกรัม/มิลลิลิตร ที่ความยาวคลื่น 200-300 นาโนเมตร โดยเครื่อง UV/Visible Spectrophotometer

ความยาวคลื่น (นาโนเมตร)	ค่าการดูดกลืนแสง
200	0.136
210	0.175
220	0.035
230	0.026
240	0.020
250	0.016
260	0.014
270	0.010
280	0.008
290	0.008
300	0.005

ตารางที่ 6 แสดงค่าการดูดกลืนแสงของสารละลายน้ำยาในแก้ว 100 มิลลิลิตร ความยาวคลื่น 240-250 นาโนเมตร โดยเครื่อง Spectrophotometer UV/Visible

ความยาวคลื่น (นาโนเมตร)	ค่าการดูดกลืนแสง
241	0.193
242	0.209
243	0.218
244	0.223
245	0.221
246	0.213
247	0.200
248	0.123
249	0.157

2. การหาองค์ประกอบที่เหมาะสมของเฟสเคลื่อนที่

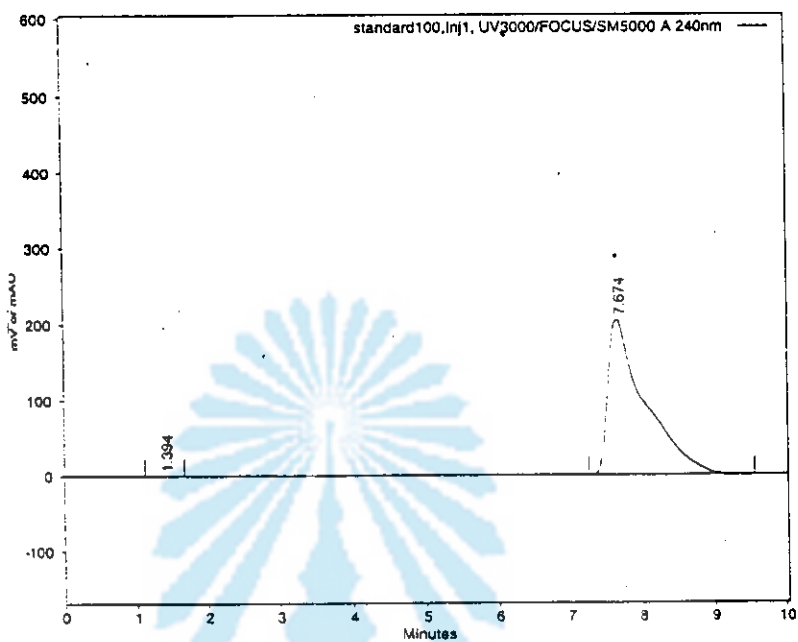
2.1 การศึกษาความเข้มข้นของเฟสเคลื่อนที่

จากการทดลองใช้อัตราส่วนระหว่างเมทานอลกับน้ำเป็นเฟสเคลื่อนที่ วิเคราะห์หาองค์ประกอบที่เหมาะสมของเฟสเคลื่อนที่พบว่า เมื่อความเข้มข้นของเมทานอลเพิ่มขึ้น ค่าcapacity factor จะมีค่าลดลงตามลำดับ และจำนวนเพลตจากค่าล้มในการทดลองแต่ละครั้งพบว่าเฟสเคลื่อนที่ 10%MeOH ให้จำนวนเพลตสูงสุด รองลงมาคือเฟสเคลื่อนที่ 15%MeOH, 35%MeOH, 30% MeOH, 20%MeOH และ 25%MeOH ส่วนค่าสมมาตรของพีคที่ได้ คือ 1.82, 1.93, 1.94, 2.08, 2.18, 2.22 เมื่อใช้ 35%MeOH, 30%MeOH, 15%MeOH, 20%MeOH, 10%MeOH และ 25%MeOH ตามลำดับ ดังแสดงในตารางที่ 7 และรูปที่ 9-14

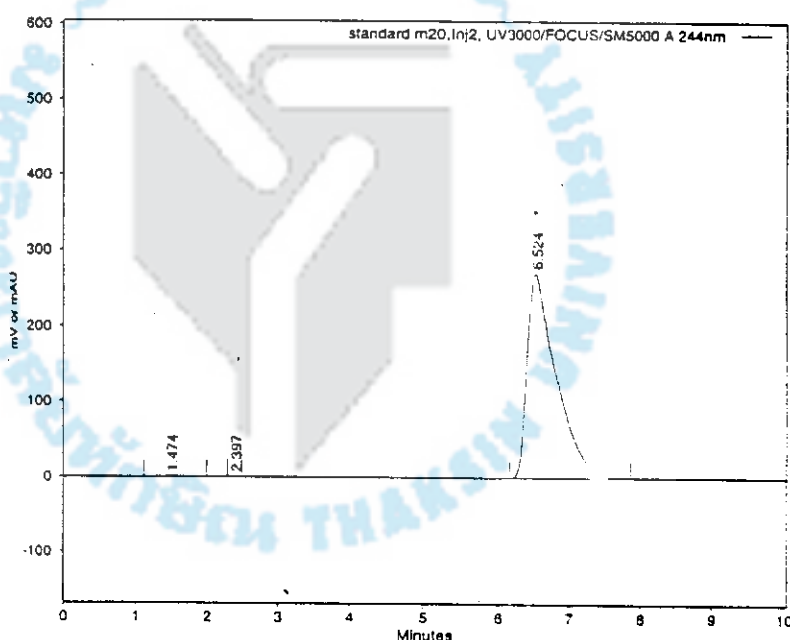
จากการทดลองที่ได้ เมื่อพิจารณาค่า capacity factor จะเห็นว่าองค์ประกอบของเฟสเคลื่อนที่ 35%MeOH เหมาะสมที่สุด เนื่องจากให้ค่าcapacity factor ที่ต่ำ และความสมมาตรของพีคก็มีความสมมาตรมากที่สุด แต่ในการวิเคราะห์หาปริมาณอะเซตามิโน芬จริง จะเลือกใช้องค์ประกอบของเฟสเคลื่อนที่ 30%MeOH เนื่องจากที่เฟสเคลื่อนที่ 35%MeOH พีคของพลาสma(blank)จะซ้อนทับกับพีคของอะเซตามิโน芬 ดังแสดงในรูปที่ 7

ตารางที่ 7 แสดงความสัมพันธ์ระหว่างองค์ประกอบของเฟสเคลื่อนที่กับค่า capacity factor

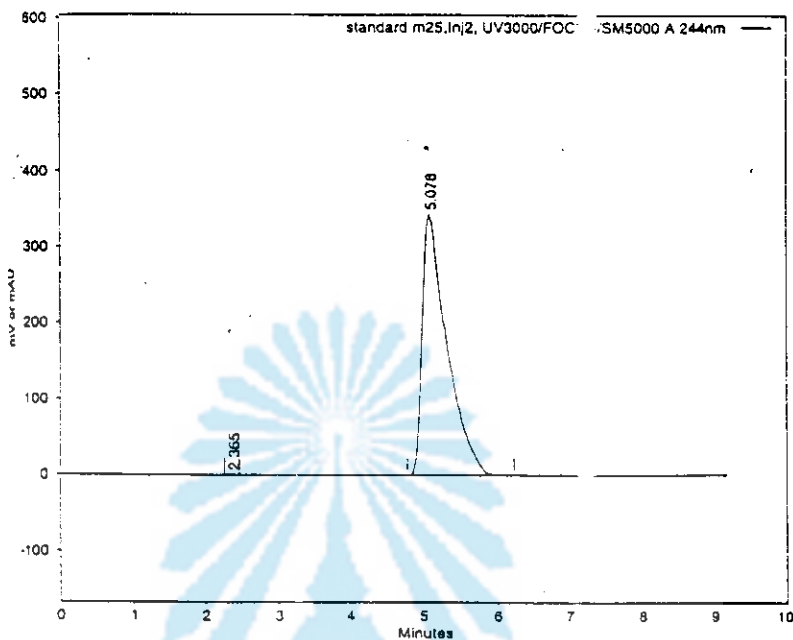
เฟสเคลื่อนที่(%เมทานอล)	Capacity factor	Symmetry
10	6.544	2.18
15	4.126	1.94
20	2.351	2.08
25	2.005	2.22
30	1.540	1.92
35	1.242	1.82



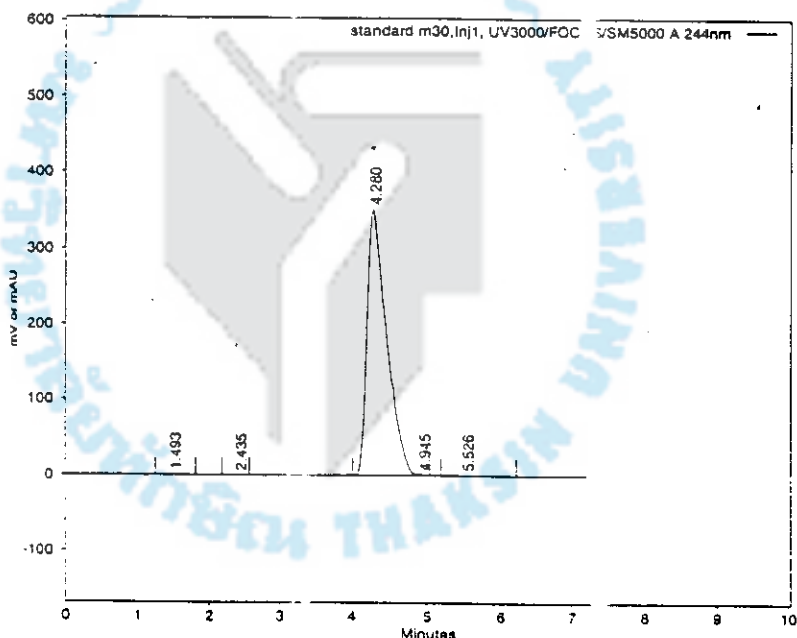
รูปที่ 9 แสดงโครโนไทแกรมการหาปริมาณของอะเซตามิโน芬ในพลาสมาที่ความยาวคลื่น 244 นาโนเมตร อัตราการไหล 1.0 มิลลิลิตร/นาที เพสเคลื่อนที่ : 15% MeOH



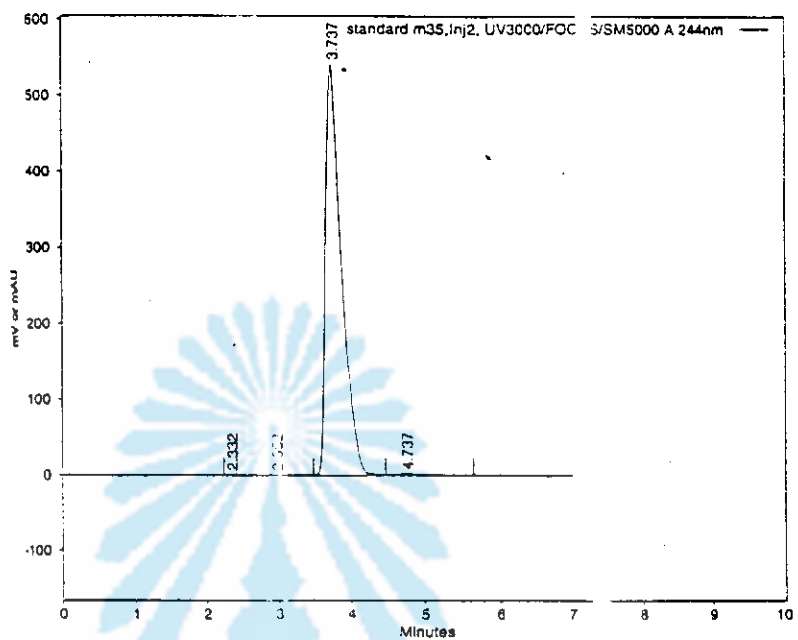
รูปที่ 10 แสดงโครโนไทแกรมการหาปริมาณของอะเซตามิโน芬ในพลาสมาที่ความยาวคลื่น 244 นาโนเมตร อัตราการไหล 1.0 มิลลิลิตร/นาที เพสเคลื่อนที่ : 20%MeOH



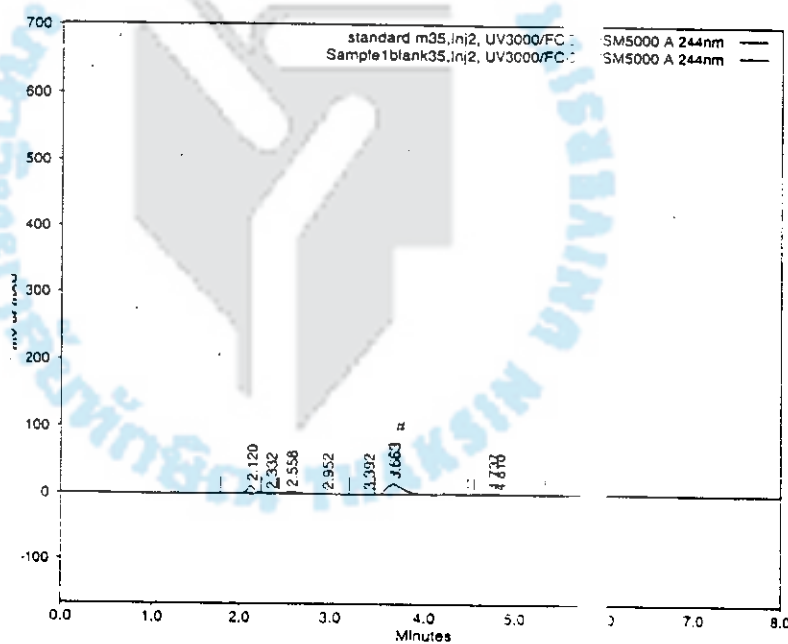
รูปที่ 11 แสดง chromatogram การหาปริมาณของอะเซตามิโน芬ในพลาสม่าที่ความยาวคลื่น 244 นาโนเมตร อัตราการไหล 1.0 มิลลิลิตร/นาที เพสเคลื่อนที่ : 25%MeOH



รูปที่ 12 แสดง chromatogram การหาปริมาณของอะเซตามิโน芬ในพลาสม่าที่ความยาวคลื่น 244 นาโนเมตร อัตราการไหล 1.0 มิลลิลิตร/นาที เพสเคลื่อนที่ : 30%MeOH



รูปที่ 13 แสดงchromatogramการหาปริมาณของอะเซตามิโนเฟนในพลาสมาที่ความยาวคลื่น 244 นาโนเมตร อัตราการไหล 1.0 มิลลิลิตร/นาที เพสเคลล่อนที่ : 35%MeOH



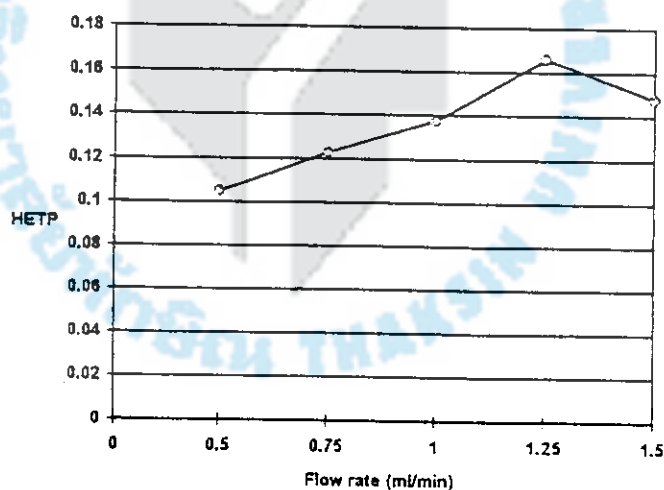
รูปที่ 14 แสดงchromatogramของพลาสมาที่ความยาวคลื่น 244 นาโนเมตร อัตราการไหล 1.0 มิลลิลิตร/นาที เพสเคลล่อนที่ : 35%MeOH

2.2 การหาอัตราเร็วในการให้ผลที่เหมาะสมของเฟสเคลื่อนที่

จากการทดลองพบว่า เมื่อเพิ่มอัตราเร็วในการให้ผลของเฟสเคลื่อนที่ ค่า retention time จะมีค่าลดลง ซึ่งจำนวนเพลตมีค่าใกล้เคียงกัน ดังแสดงในตารางที่ 8 อัตราการให้ผลของเฟสเคลื่อนที่ทำให้ประสิทธิภาพในการแยกของคลอเลมันดีที่สุด สำหรับการวิเคราะห์ คือ 0.75 มิลลิตร/นาที อัตราการให้ผลนี้จะให้ค่า HETP ต่ำสุด และจำนวนเพลตในการแยกก็สูง ดังรูปที่ 15

ตารางที่ 8 แสดงความสัมพันธ์ระหว่างอัตราเร็วในการให้ผล จำนวนเพลต retention time และค่า HETP

อัตราการให้ผล(มิลลิตร/นาที)	Retention time	จำนวนเพลต	HETP
0.50	7.491	2379	0.105
0.75	4.781	2032	0.123
1.00	3.747	1813	0.138
1.25	3.006	1510	0.166
1.50	2.492	1688	0.148



รูปที่ 15 แสดงกราฟความสัมพันธ์ระหว่างค่า HETP กับอัตราการให้ผลของเฟสเคลื่อนที่

3. การหาเปอร์เซ็นต์การสกัด

จากการทดลอง ใช้สารละลายน้ำดีทูนอยากรูปแบบในเพ่นในพลาสมา ความเข้มข้น 10 และ 20 ไมโครกรัม/มิลลิลิตร มาทำการสกัดโดยวิธีในแผนภาพที่ 2 แล้วนำสารสกัดไปวิเคราะห์ด้วยเครื่อง HPLC/UV-Visible เปรียบเทียบกับสารละลายน้ำดีทูนอยากรูปแบบในเพ่น 10 และ 20 ไมโครกรัม/มิลลิลิตร ที่ยังไม่ผ่านการสกัด พบร่วมโดยวิธีการสกัดดังกล่าวให้เปอร์เซ็นต์สกัดเฉลี่ยเท่ากับ 96.9 ดังแสดงในตารางที่ 9

ตารางที่ 9 แสดงเปอร์เซ็นต์การสกัดสารละลายน้ำดีทูนอยากรูปแบบในเพ่น

ความเข้มข้น (ไมโครกรัม/มิลลิลิตร)	ค่าการดูดกลืนแสง(mV)		เปอร์เซ็นต์การสกัด
	ก่อนการสกัด	หลังการสกัด	
10	67146	28350	96.7
20	94337	40561	97.1

จากข้อมูลในตารางที่ 8 สามารถหาเปอร์เซ็นต์การสกัดได้ดังนี้

สารตัวอย่าง 1 มิลลิลิตร เมื่อผ่านการสกัด จะได้ปริมาตรเพิ่มขึ้นเป็น 2.25 มิลลิลิตร

ก่อนการสกัด สารละลายน้ำดีทูนอยากรูปแบบในเพ่น 1 มิลลิลิตร มีเนื้อสารอยู่ $20 \times 1 = 20$ ไมโครกรัม

$$\begin{aligned} \text{หลังการสกัด} \text{ อะเซตามิโนเพ่นมีความเข้มข้นเหลือ &= 20 \times (40561/94337) \\ &= 8.599 \text{ ไมโครกรัม/มิลลิลิตร} \end{aligned}$$

$$\begin{aligned} \text{ตั้งน้ำหนักของสารในเพ่นหลังการสกัด} &= 2.25 \times 8.599 \\ &= 19.3775 \text{ ไมโครกรัม} \end{aligned}$$

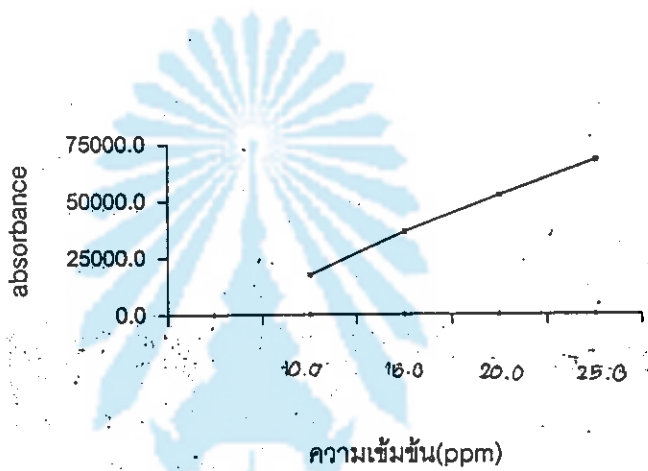
4. การวิเคราะห์หาปริมาณอะเซตามิโนเฟนในตัวอย่างพลาสม่า

นำสารละลายน้ำมาระดูดบนกระดาษทรายมาตรฐานอะเซตามิโนเฟนในพลาสม่า ความเข้มข้น 10.0, 15.0, 20.0 และ 25.0 ไมโครกรัม/มิลลิลิตร มาวิเคราะห์ด้วยเครื่อง HPLC/UV detector โดยใช้ 30% เมทานอล เป็นเฟสเคลื่อนที่ อัตราการไหลเท่ากับ 0.75 มิลลิลิตร/นาที และวัดการดูดกลืนแสงที่ความยาวคลื่น 244 นาโนเมตร จะได้ผลการทดสอบดังตารางที่ 10 จากนั้นนำค่าการดูดกลืนแสงแต่ละความเข้มข้นที่ได้มาเขียนกราฟมาตรฐานความสัมพันธ์ระหว่างความเข้มข้นของอะเซตามิโนเฟนกับค่าการดูดกลืนแสงของอะเซตามิโนเฟน ดังรูปที่ 16

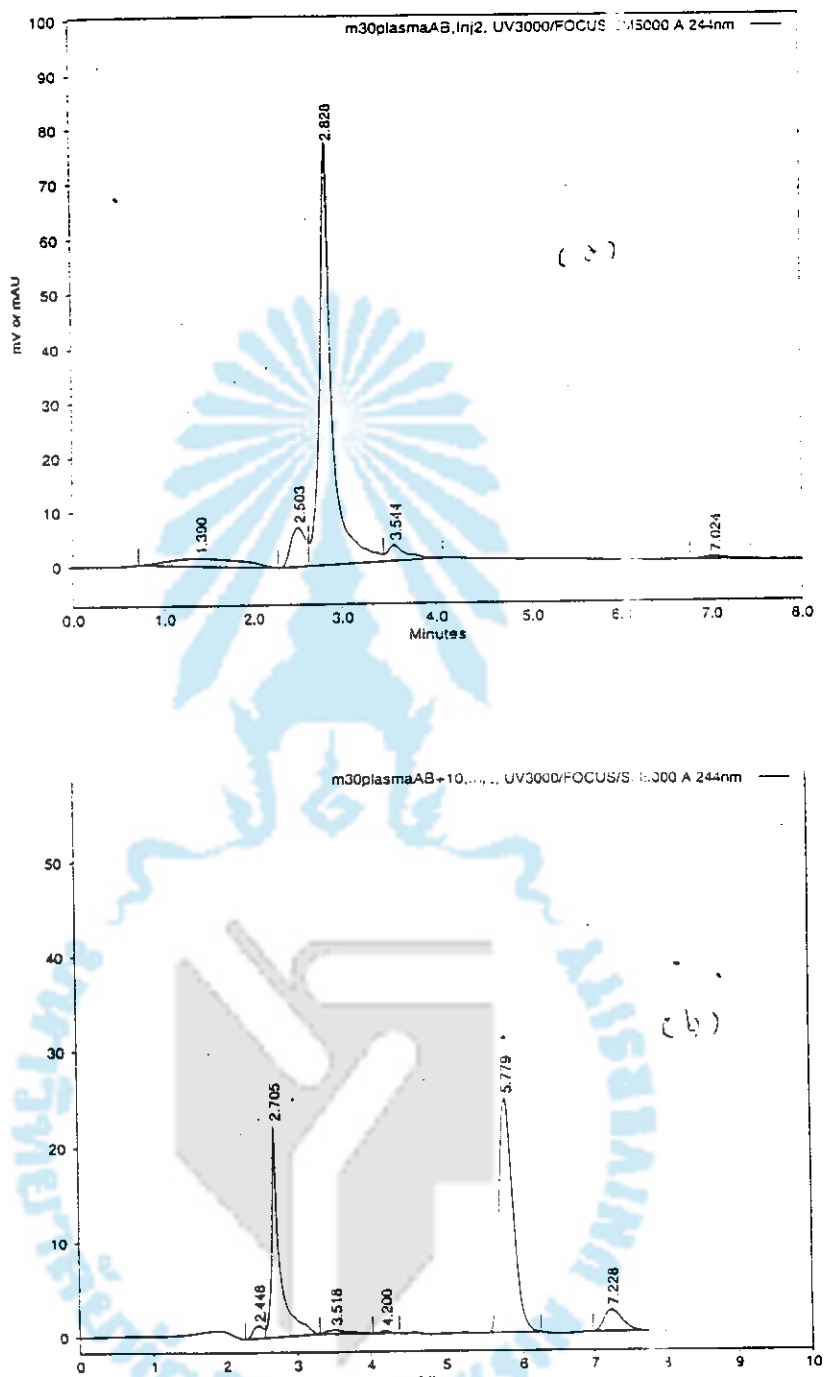
นำตัวอย่างเลือดมาแยกເອົາພลาສมาตามแผนภาพที่ 2 ใช้สภาวะการทดลองเหมือนการทำกราฟมาตรฐานข้างต้น วัดความสูงของพื้นที่ได้ แล้วนำไปหารिमานโดยเปรียบเทียบกับกราฟมาตรฐาน โดยสามารถวิเคราะห์หาปริมาณอะเซตามิโนเฟนในพลาสมาก็ได้ตามโครงมาทำแบบรูปที่ 17

ตารางที่ 10 แสดงความสัมพันธ์ระหว่างความเข้มข้นของอะเซตามิโนเฟนกับค่าการดูดกลืนแสงของอะเซตามิโนเฟน

ความเข้มข้น(ไมโครกรัม/มิลลิลิตร)	absorbance
10.0	17528
15.0	36243
20.0	52435
25.0	67825



รูปที่ 16 แสดงกราฟมาตรฐานของอะเซตามิโนเฟนในพลาสม่า
สภาวะการทดลอง : คอลัมน์ C₁₈ เฟสเคลื่อนที่ : 30% เมทานอล,
อัตราการไหล : 0.75 มลลิลิตร/นาที , ความยาวคลื่น 244 นาโนเมตร



รูปที่ 17 แสดงโครงสร้างในกระบวนการที่นำเข้าไปในพลาสมาที่ความยาวคลื่น 244 นาโนเมตร โดยใช้ 30% เมทานอล เฟสเคลื่อนที่ อัตราการไหล 0.75 มิลลิลิตร/นาที (a) blank plasma (b) 10 ppm acetaminophen in plasma

การเปรียบเทียบวิธีวิเคราะห์อะเซตามิโนเฟนในพลาสม่า

นำสารละลายมาตรฐานอะเซตามิโนเฟนในพลาสม่าไปวิเคราะห์หาปริมาณโดยเทคนิค MLC และ RPLC แล้วนำผลที่ได้มาตรวจสอบทางสถิติแบบ F-test ตามตารางที่ 11 พบว่าค่า F จากการคำนวณมีค่าน้อยกว่าค่า F จากตาราง ดังนั้นผลการทดสอบวิเคราะห์หาปริมาณโดยเทคนิคทั้งสองไม่มีความแตกต่างอย่างมีนัยสำคัญ ที่ระดับความเชื่อมั่น 95 %

ตารางที่ 11 แสดงการเปรียบเทียบการหาปริมาณของอะเซตามิโนเฟนโดยเทคนิค RPLC และเทคนิค MLC

ครั้งที่	ปริมาณอะเซตามิโนเฟนในพลาสม่า (มก./มล.)	
	RPLC	MLC
1	19.7	17.6
2	18.8	18.1
3	19.2	19.4
4	18.5	18.3
5	18.0	18.9
ค่าเฉลี่ย	18.8	18.9
S	0.65	0.70
S^2	0.423	0.493
ค่า F จากการคำนวณ	1.17	
ค่า F จากตาราง	5.05	

บทที่ 5

สรุปผลการทดลอง

การวิเคราะห์ปริมาณอะเซมิโน芬ในพลาสม่า โดยเปรียบเทียบวิธีวิเคราะห์ 2 เทคนิคคือ

1. เทคนิคไมโครลาร์ ลิกวิด โครมาโทกราฟี
2. เทคนิคเรอร์เฟส ลิกวิด โครมาโทกราฟี

เทคนิคไมโครลาร์ ลิกวิด โครมาโทกราฟี สามารถวิเคราะห์อะเซตามิโน芬ในพลาสม่าได้โดยตรง ไม่ต้องผ่านกระบวนการกรองสักดิ้นออกจากพลาสม่า มีสภาวะที่เหมาะสมสำหรับการทดลองดังนี้

- ★ คอลัมน์ C₁₈ (25)
- ★ ความยาวคลื่น 245 นาโนเมตร
- ★ เฟสเคลื่อนที่ใช้ 0.01 มิลลาร์ ใช้เดียมโดดิคิลชัลเฟต
- ★ อัตราการไหลของเฟสเคลื่อนที่เท่ากับ 1.0 มิลลิลิตร/นาที

ความสัมพันธ์ระหว่างความเข้มข้นของสารละลายมาตรฐานและความสูงของพีคเมื่อสักชุดจะเป็นเส้นตรงลดดซึ่งความเข้มข้น 1.0 – 15.0 มิลลิกรัม/มิลลิลิตร โดยมีสัมประสิทธิ์ความสัมพันธ์เชิงเส้นตรงเท่ากับ 0.9990

เทคนิคเรอร์เฟส ลิกวิด โครมาโทกราฟี สามารถวิเคราะห์อะเซตามิโน芬ในพลาสม่าได้โดยผ่านกระบวนการกรองสักดิ้นออกจากพลาสม่า มีสภาวะที่เหมาะสมสำหรับการทดลองดังนี้

- ★ คอลัมน์ C₁₈ (25cm x 4.6mm I.D.)
- ★ ความยาวคลื่น 244 นาโนเมตร
- ★ เฟสเคลื่อนที่ใช้ 30%(V/V) เมทานอล
- ★ อัตราการไหลของเฟสเคลื่อนที่เท่ากับ 0.75 มิลลิลิตร/นาที

ความสัมพันธ์ระหว่างความเข้มข้นของสารละลายมาตรฐานและความสูงของพีคเมื่อสักชุดจะเป็นเส้นตรงลดดซึ่งความเข้มข้น 10.0 – 25.0 มิลลิกรัม/มิลลิลิตร โดยมีสัมประสิทธิ์ความสัมพันธ์เชิงเส้นตรงเท่ากับ 0.99896

จากการทดลองเมื่อนำผลการทดลองการวิเคราะห์อะเซตามิโน芬ในพลาสมามาเปรียบเทียบกันพบว่า เทคนิค RPLC ไม่เหมาะสมที่จะใช้วิเคราะห์อะเซตามิโน芬ในพลาสมานักมากฯ เพราจะมีปัญหาเรื่องการกำจัดโปรดีนออก เนื่องจากพบว่าเมื่ออะเซตามิโน芬มีความเข้มข้นต่ำลง เปอร์เซ็นต์การกรองของสารมีแนวโน้มลดลงด้วย ซึ่งส่งผลให้ ปริมาณอะเซตามิโน芬มีปริมาณน้อยลง อาจเพิ่มความผิดพลาดในการวิเคราะห์ได้ แต่ถ้าต้องการวิเคราะห์อะเซตามิโน芬ปริมาณ

ความเข้มข้นต่ำมากๆ อาจทำได้โดยใช้วิธีการหาปริมาณสารตัวยาร์ชี standard addition ซึ่งจะต้องกว่าวิธี calibration curve แต่วิธี standard addition ก็ไม่เหมาะสมกับสารตัวอย่างจำนวนมากๆ หรือลองเปลี่ยนวิธีการสกัดโปรดตีนเพื่อเพิ่มประสิทธิภาพการสกัด

สำหรับเทคนิค MLC สามารถใช้ได้กับการวิเคราะห์อะเซตามิโนเฟนในปริมาณต่ำ ไม่มีปัญหาการสูญเสียปริมาณอะเซตามิโนเฟนในการกำจัดโปรดตีน แต่พบว่าคอลัมน์ที่ใช้ในการวิเคราะห์มีปัญหาการอุดตันเกิดขึ้น โดยสังเกตจากความดันกลับของคอลัมน์มีค่าสูงขึ้น เนื่องจากโปรดตีนในพลาสม่า โปรดตีนในพลาสมานั้นจะถูกละลายในเฟสเคลื่อนที่(สารละลายใช้เดี่ยมไดคิลชัลเฟต) เมื่อใช้สารละลายใช้เดี่ยมไดคิลชัลเฟตที่ความเข้มข้นต่ำ อาจมีโปรดตีนบางส่วนที่ไม่ละลายตกค้างและถูกสะสมในคอลัมน์ แต่ถ้าใช้สารละลายใช้เดี่ยมไดคิลชัลเฟตที่ความเข้มข้นสูงๆ ก็จะปัญหานี้เรื่องความดันของคอลัมน์ที่สูง เพราะสารละลายใช้เดี่ยมไดคิลชัลเฟตเป็นสารที่มีความหนืดสูง

เทคนิคMLC เป็นอีกเทคนิคนึงที่เป็นทางเลือกให้กับการวิเคราะห์ยาในพลาสม่า โดยเฉพาะอย่างยิ่งการวิเคราะห์ยาในพลาสมາของผู้ป่วยที่มีโรคติดเชื้อ โดยสามารถลดกระบวนการวิเคราะห์ที่ต้องสัมผัส หรือมีความเสี่ยงในการติดเชื้อของผู้ทำการวิเคราะห์ได้

ເອກສາຮອ້າງອີງ

1. Berthod, A., Roussel, A. 1988. "The Role of Stationary Phase in Micellar Liquid Chromatography", J.Chromatogr. 449 , 349-360.
2. Berthod, A., Girard, I. and Gonnet, C. 1986. "Micellar Liquid Chromatography Adsorption Isotherms of Two Ionic Surfactant on Five Stationary Phase", Anal.Chem. 58 , 1356-1358.
3. Berthod, A., Girard, I. and Gonnet, C. 1986. "Micellar Liquid Chromatography: Retention Study of Solutes of Various Polalities", Anal.Chem. 58 , 1359-1362
4. Berthod, A., Girard, I. and Gonnet, C. 1986. "Additive Effects on Surfactant Adsorption and Ionic Solute Retention in Micellar Liquid Chromatography" , Anal.Chem. 58 , 1362-1367.
5. Borgerdin, M.F. and Hinze, W.L. 1989. "Inveatigation of Stationary Phase Modification by the Mobile Phase Surfactant in Micellar Liquid Chromatography" , Anal.Chem. 61 , 1353-1358.
6. Borgerdin, M.F., Quina, F.H. and Hinze, W.L. 1988. "Investigation of the Retention Mechanism in Nonionic Micellar Liquid Chromatography Using an Alkylbenzene Homologous Series", Anal.Chem. 60 , 2520-2527.
7. Cline Love, L.J., Habarta,J.G. and Dorsey, J.G. 1984. "The Micelle - Analytical Chemistey Interface", Anal.Chem. 56 , 1132A-1148A.
8. DeLuccia, F.J., Arunyanart, M. and Cline Love, L.J. 1985. "Direct Serum Injection with Micellar Liquid Chromatography for Therapeutic Drug Monitoring " , Anal.Chem. 57 , 1564-1568.
9. Domigo, E.B., et al. 1992. "Evaluation of Diuritics in Pharmaceuticals by High-performance Liquid Chromatography with a 0.05 mol dm^{-3} Sodium Dodecyl Sulfate-3%Propanol Mobile Phase " , Analyst , 117 , 843-847.
10. Dorsey, J.G., DeEchegaray, M.T. and Landy, J.S. 1983. "Efficiency Enhancement in Micellar Liquid Chromatography " , Anal.Chem. 55 , 924-928.
11. Dorsey, J.G., et al. 1984. "Gradient Elution Micellar Liquid Chromatography", J.Chromatogr. 316 , 183-191.

12. Flurer, C.L. and Novotny, M. 1993. "Dual Microcolumn Immunoaffinity Liquid Chromatography: An Analytical Application to Human Plasma Protein", Anal.Chem. 65, 817-821.
13. Frivilzio, C., Pinelli, A. 1985. , "Determination of Glibenclamide, Chlorpropamide and Tolbutamide in Plasma by High-performance Liquid Chromatography with Ultraviolet Detecter", J.Chromatogr. 339 , 203-209.

